

# ОБ ОДНОМ АЛГОРИТМЕ АНАЛИЗА ВРЕМЕННЫХ РЯДОВ

Х. Х. XXXXXXXX<sup>1</sup> У. У. YYYYYY<sup>1</sup>

<sup>1</sup>Московский государственный университет имени М.В. Ломоносова

Анализ временных рядов представляет собой мощный инструмент для изучения характеристик некоторой физической величины с течением времени. Временные ряды находят широкое применение в различных областях, включая экономику, климатологию, медицину и физику. Однако в астрономии и астрофизике, где имеется большое количество данных, полученных из наблюдений за астрономическими объектами, анализ временных рядов обретает особое значение. В данном отчете мы рассмотрели один из методов анализа временных рядов в астрономии, использующий быстрое преобразование Фурье.

## I. ОПРЕДЕЛЕНИЯ

В дальнейшем при анализе временного ряда мы будем использовать *периодограмму* и *коррелограмму*. *Периодограмма* — это оценка спектральной плотности мощности. В диапазоне частот до частоты Найквиста большинство частот локальных максимумов периодограммы совпадает с частотами локальных максимумов истинной спектральной плотности. Рассмотрим временной ряд  $x = x(t)$ , который задается дискретным конечным набором вещественных чисел  $x_k = x(t_k)$  при  $t_k = k\Delta t$ ,  $k = \overline{0, N-1}$ , где  $\Delta t$  — единичный шаг по времени.

*Периодограмма Шустера* определяется как

$$D(\nu) = \frac{1}{N^2} \left| \sum_{k=0}^{N-1} x_k e^{-i2\pi\nu t_k} \right|^2 \quad (1)$$

Значения  $D(\nu)$  вычисляются по формуле (1), причем только в определенных точках, а именно:

$$\nu_j = \frac{j}{N\Delta t}, \quad j = \overline{0, N/2}. \quad (2)$$

*Коррелограмма* — это оценка автокорреляционной функции, показывающая взаимосвязь двух или более случайных величин, при этом изменения значений одной или нескольких из этих величин сопутствуют систематическому изменению значений другой или других величин. В качестве оценки корреляционной функции  $c_m$  берут

$$c_m = \frac{1}{N-m} \sum_{k=0}^{N-m-1} x_k x_{k+m}, \quad (3)$$
$$m = \overline{0, N-1}.$$

Периодограмма и коррелограмма связаны соотношением, следующим из теоремы Винера — Хинчина:

$$D(\nu) = \frac{1}{N} \left[ 2\operatorname{Re} \sum_{m=0}^{N-1} \bar{c}_m e^{-i2\pi\nu m\Delta t} - \bar{c}_0 \right], \quad (4)$$

где  $\bar{c}_m$  является смещенной оценкой корреляционной функции:

$$\bar{c}_m = \frac{N-m}{N} c_m$$

## II. АЛГОРИТМ БЫСТРОГО ПРЕОБРАЗОВАНИЯ ФУРЬЕ

При оценке спектральной плотности мощности и корреляционной функции используется *дискретное преобразование Фурье* (DFT). Возьмем две последовательности

$$\begin{aligned} \{x_k\}, \quad k = \overline{0, N-1}, \\ \{X_j\}, \quad j = \overline{0, N-1}, \end{aligned}$$

тогда *прямое дискретное преобразование Фурье* (DFT) задается для них как:

$$\begin{aligned} X_j = \text{DFT}_j \{x_k\}_{k=0}^{N-1} = \sum_{k=0}^{N-1} x_k e^{-i \frac{2\pi}{N} k j}, \\ j = \overline{0, N-1}. \end{aligned} \quad (5)$$

*Обратное дискретное преобразование Фурье* (DFT<sup>-1</sup>) определяется в виде:

$$\begin{aligned} x_k = \text{DFT}_k^{-1} \{X_j\}_{j=0}^{N-1} = \sum_{j=0}^{N-1} X_j e^{i \frac{2\pi}{N} k j}, \\ k = \overline{0, N-1}. \end{aligned} \quad (6)$$

Используя те же частоты: что и в (2) получаем формулу для вычисления периодограмм:

$$\begin{aligned} D_j = \frac{1}{N^2} \left| \text{DFT}_j \{x_k\}_{k=0}^{N-1} \right|^2, \\ j = \overline{0, N/2}. \end{aligned} \quad (7)$$

Однако, есть возможность использовать более быстрый алгоритм для вычисления данного преобразования. Эта процедура называется *быстрым преобразованием Фурье* (FFT). Чтобы выполнялся данный алгоритм число, точек временного ряда  $N$  должно составлять:

$$N = 2^p, \quad (8)$$

где  $p$  — целое положительное число. Тем не менее, не всегда  $N$  можно представить в такой форме. Поэтому зачастую ряд дополняют нулями, чтобы длина нового ряда составляла  $N_1 = 2^p \geq N$ . После этого берут длину нового ряд равную  $N_2 = 2N_1$ .

Помимо формулы (3) для вычисления коррелограмм можно использовать формулу, которая задействует обратное преобразования Фурье (FFT<sup>-1</sup>):

$$\begin{aligned} \bar{c}_m = N \text{ Re FFT}_m^{-1} \{D_j\}_{j=0}^{N_2-1}, \\ m = \overline{0, N-1}. \end{aligned} \quad (9)$$

## III. АЛГОРИТМ АНАЛИЗА

В этом разделе приведен алгоритм анализа равномерного временного ряда. Возьмем временной ряд и определим основные его параметры:

$$x_k = \alpha + \beta t_k + A_1 \cos(2\pi \nu_1 t_k - \varphi_1) + \sigma_x \xi_k, \quad (10)$$

$$t_k = k\Delta t, \quad k = \overline{0, N-1},$$

где  $\Delta t$  — постоянный шаг выборки;  $\alpha$  и  $\beta$  — параметры линейного тренда;  $A_1, \nu_1, \varphi_1$  — амплитуда, частота и фаза колебательного компонента;  $\xi_k, k = \overline{0, N-1}$  — шумовой компонент ряда, распределенная по нормальному закону:

$$\xi \sim \mathcal{N}(0, 1);$$

$\sigma_x$  — среднеквадратическое отклонение шумового компонента  $\xi_k$ , задаваемое с помощью соотношения

$$\sigma_n = \sqrt{\frac{A_1^2}{2\gamma}}, \quad (11)$$

где  $\gamma$  — отношение «сигнал-шум».

Алгоритм вычисления характеристик ряда и построения периодограмм и коррелограмм приведен ниже.

#### А. Построение графика временного ряда $x_k = x(t_k)$

При рассмотрении графического изображения данного ряда мы убеждаемся в наличии линейного тренда, а также квазипериодической составляющей.

#### В. Исключение тренда и центрирование ряда

Аппроксимируем функцию временного ряда с помощью линейной функции и центрируем временной ряд. Соответственно, для этого получим оценки коэффициентов  $\hat{\alpha}$  и  $\hat{\beta}$  функции:

$$x_k = \hat{\alpha} + \hat{\beta}t_k. \quad (12)$$

Оценим данные коэффициенты, используя метод наименьших квадратов (МНК):

$$\hat{\beta} = \frac{\langle t_k x_k \rangle - \langle t_k \rangle \langle x_k \rangle}{\langle t_k^2 \rangle - \langle t_k \rangle^2}, \quad (13)$$

$$\hat{\alpha} = x_k - \hat{\beta} \langle t_k \rangle. \quad (14)$$

После этого необходимо вычесть линейный тренд из временного ряда. Отсюда мы получаем оценку центрированного ряда:

$$\hat{x}_k^0 = \hat{x}^0(t_k) = x_k - \hat{\alpha} - \hat{\beta}t_k, \quad k = \overline{0, N-1}. \quad (15)$$

#### С. Графическое представление центрированного ряда

Затем представим оценку центрированного ряда в виде графика  $\hat{x}^0(t_k)$ .

### Д. Получение периодограммы

Чтобы вычислить периодограмму, необходимо использовать *быстрое преобразование Фурье*, которое описывает формула (5). Для этого необходимо дополнить данный нам временной ряд нулями. Получаем новый ряд длиной  $N_2 = 2N_1$ ,  $N_1 = 2^p \geq N$ . После применяем FFT:

$$X_j = \text{FFT}_j \{x_k^0\}_{k=0}^{N_2-1} = \sum_{k=0}^{N_2-1} x_k^0 e^{-i \frac{2\pi}{N_2} kj}, \quad (16)$$

$$j = \overline{0, N_2 - 1},$$

после чего рассчитывается *периодограмма Шустера* по формуле (1)

$$D_j = \frac{1}{N^2} [(\text{Re } X_j)^2 + (\text{Im } X_j)^2]. \quad (17)$$

$$j = \overline{0, N_2 - 1},$$

Отсчеты периодограммы соответствуют частотам

$$\nu_j = j\Delta\nu, \quad j = \overline{0, N_2/2}, \quad \Delta\nu = \frac{1}{N_2\Delta t}.$$

### Е. Оценка дисперсии ряда

Оценка дисперсии временного ряда производится по формуле (см. Калинина)

$$\sigma_o^2 = \frac{1}{N-1} \sum_{k=0}^{N-1} (x_k^0)^2. \quad (18)$$

### Г. Построение периодограммы

Теперь представим в виде графика периодограмму, а также отождествим выраженные спектральные линии. Строим график  $D(\nu)$ . Пики частот, которые превышают критический уровень  $D_{\text{crit}} = \sigma_o^2 X_1 / N$ , являются указанием на существование в зависимости периодической компоненты.

Пусть  $q$  — вероятность того, что на  $N$  точек периодограммы находится одна со значением  $D > D_{\text{crit}}$  при отсутствии периодического сигнала. Тогда вероятность обнаружения периодического сигнала при наличии на периодограмме хотя бы одной такой точки меньше либо равна  $1 - q$ . Значения  $q$  и  $X_1$  связаны (см. Витязева). При анализе они задаются заранее.

### Г. Вычисление коррелограммы

Используя формулы (3) и (9), получаем выражение для коррелограммы

$$\bar{c}_m = \frac{1}{N} \text{Re FFT}_m^{-1} [|X_j|^2]_{j=0}^{N_2-1}, \quad (19)$$

$$m = \overline{0, N^* - 1}.$$

## Н. График коррелограммы

На данном этапе мы строим коррелограмму, т. е. график  $\bar{c}_m(t_k)$ .

### И. Взвешенная коррелограмма

Дальше можно получить сглаженную периодограмму. Для этого необходимо коррелограмму умножить на функцию Тьюки:

$$W_m = (1 - a) + 2a \cos \frac{\pi m}{N^*}. \quad (20)$$

Взвешенная коррелограмма вычисляется таким образом

$$\tilde{c}_m = \bar{c}_m W_m, \quad m = \overline{0, N^* - 1}. \quad (21)$$

### Ж. Сглаженная периодограмма

Ряд  $\tilde{c}_m$  дополняют нулями до заданной длины ряда  $N_2$ . После вычисляется сглаженная периодограмма так

$$\tilde{D}_j = \frac{1}{N^*} \left[ 2 \operatorname{Re} \operatorname{FFT}_j \{ \tilde{c}_m \}_{m=0}^{N_2-1} - \tilde{c}_0 \right], \quad j = \overline{0, N_2/2}. \quad (22)$$

### К. Построение графика сглаженной периодограммы

Строим графики  $\tilde{D}_j(\nu_j)$ . Отсчеты по частотам совпадают у  $D_j$  и  $\tilde{D}_j$ .

## IV. ПРИМЕНЕНИЕ МЕТОДА

Возьмем модельный временной ряд, заданный формулой (10). Сам ряд представлен в файле time\_series.dat. Считаем, что нам заданы  $\Delta t = 1$  с,  $N = 230$ ,  $q = 0.01$ ,  $X_1 = 9.0$ ,  $A_1 = 1$ ,  $\nu_1 = 1$  Гц,  $\varphi_1 = 0$ ,  $\gamma = 0.50$ .

Следуя нашему алгоритму, строим график временного ряда  $x_k = x(t_k)$  (см. рис 1). Используя формулы (13) и (14), получаем оценку коэффициентов аппроксимирующей линейной функции:

$$\begin{aligned} \hat{\alpha} &\approx -0.11 \pm 0.16, \\ \hat{\beta} &\approx 0.05185 \pm 0.0013. \end{aligned}$$

После этого проводим пересчет  $x_k$  в  $x_k^0$ . И строим график центрированного ряда  $x_k^0(t_k)$  (см. рис 2).

Далее, пользуясь формулами (16), (17), получаем значения  $D_j$  и  $\nu_j$  для построения периодограммы. Затем получаем по формуле (18) оценку дисперсии ряда

$$\sigma_0^2 \approx 1.661745.$$

Теперь строим периодограмму временного ряда  $D(\nu)$  (см. рис 3). Проводим критический уровень  $D_{\text{crit}} = \sigma_0^2 X_1 / N \approx 0.065$  и находим яркую спектральную линию на частоте 0.1 Гц.

Мы взяли  $a = 0.25$ ,  $N^* = 0.5N$ ,  $N^{**} = 0.2N$ . По формуле (19) рассчитываем выражения  $\bar{c}_m$  для построения коррелограммы. Строим график коррелограммы  $\bar{c}_m(t_k)$  (см. рис 4). Используя формулы (20) и (21), рассчитываем значения  $\tilde{c}_m$  взвешенной коррелограммы. Последнее, что остается это рассчитать по формуле (22) взвешенную периодограмму  $\tilde{D}_j$  и ее построить. График взвешенной периодограммы представлен на рис. 5 и 6.

## V. ЗАКЛЮЧЕНИЕ

В данной работе приведен алгоритм, позволяющий анализировать временные ряды путем построения периодограмм и коррелограмм, а также показано применение данного метода на примере модельного ряда. Периодограммы позволили выявить периодические составляющие и частоты, описывающие ряд. Коррелограммы выявили автокорреляцию в данных, что помогло построить сглаженные периодограммы.

## ИСПОЛЬЗУЕМЫЕ МАТЕРИАЛЫ

В. Н. Калинина, В. Ф. Панкин «*Математическая статистика*»

В. В. Витязев «*Спектрально-корреляционный анализ равномерных временных рядов. Учебное пособие*»

Eric Feigelson (Penn State University) «*Time Series Analysis*»

James Holland Jones «*Time Series and Spectral Analysis*»

R. Vio et al. (2005) «*Time series analysis in astronomy: Limits and potentialities*»

Mark Fiecas et al. (2018) «*Spectral Analysis of High-dimensional Time Series*»

## КОНФЛИКТ ИНТЕРЕСОВ

Авторы заявляют об отсутствии конфликта интересов.

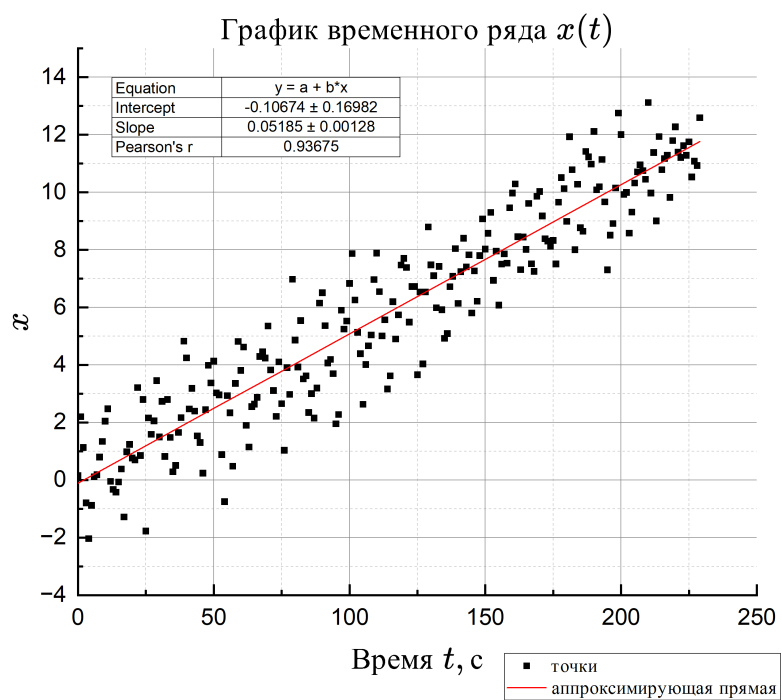


Рис. 1. График модельного временного ряда  $x_k = x(t_k)$ .

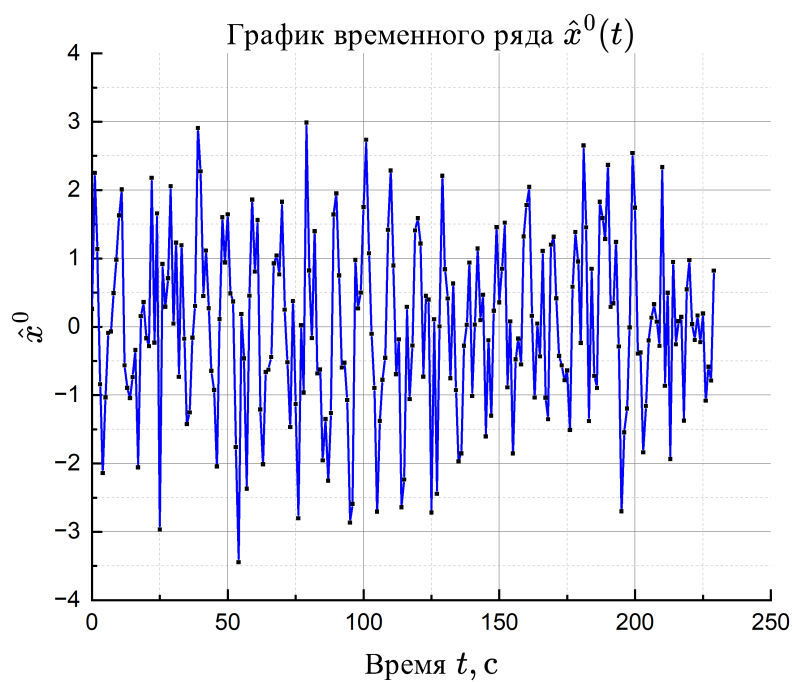


Рис. 2. График центрированного временного ряда  $\hat{x}^0 = \hat{x}^0(t_k)$ .

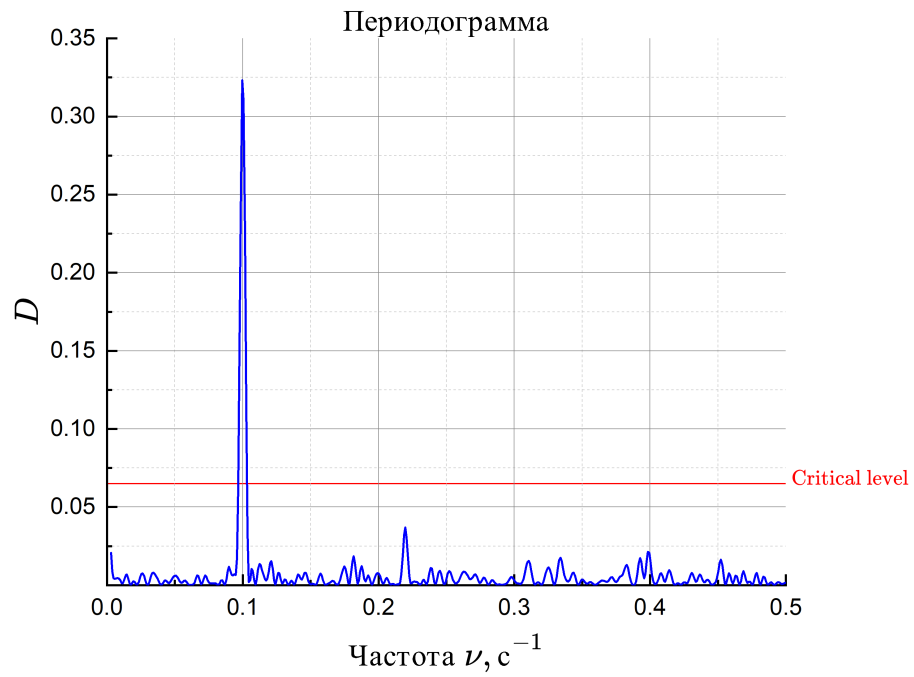


Рис. 3. Синяя кривая — периодограмма Шустера временного ряда в зависимости от частоты  $D(\nu)$ . Красная линия — критический уровень детектирования периодического сигнала,  $D_{\text{crit}} \approx 0.065$

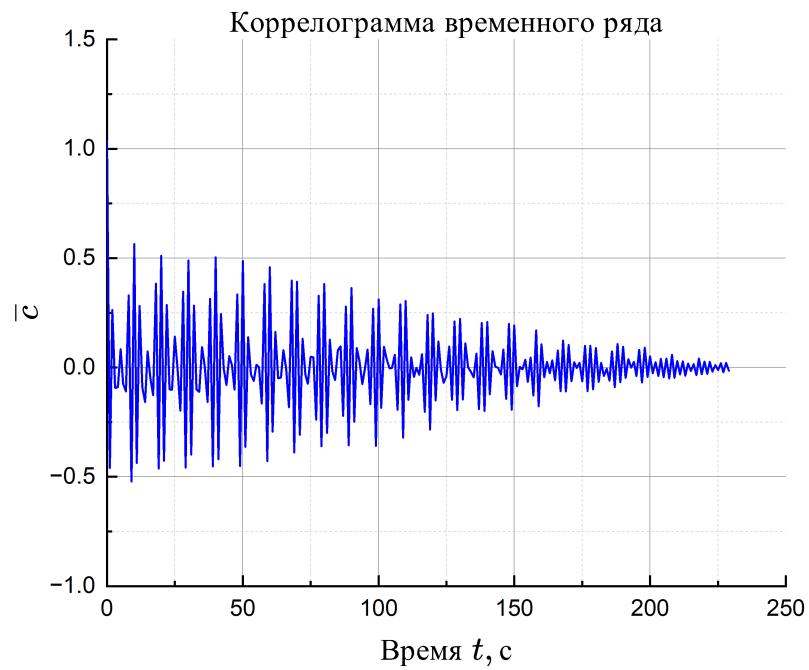


Рис. 4. Коррелограмма временного ряда  $\bar{c}(t)$ .



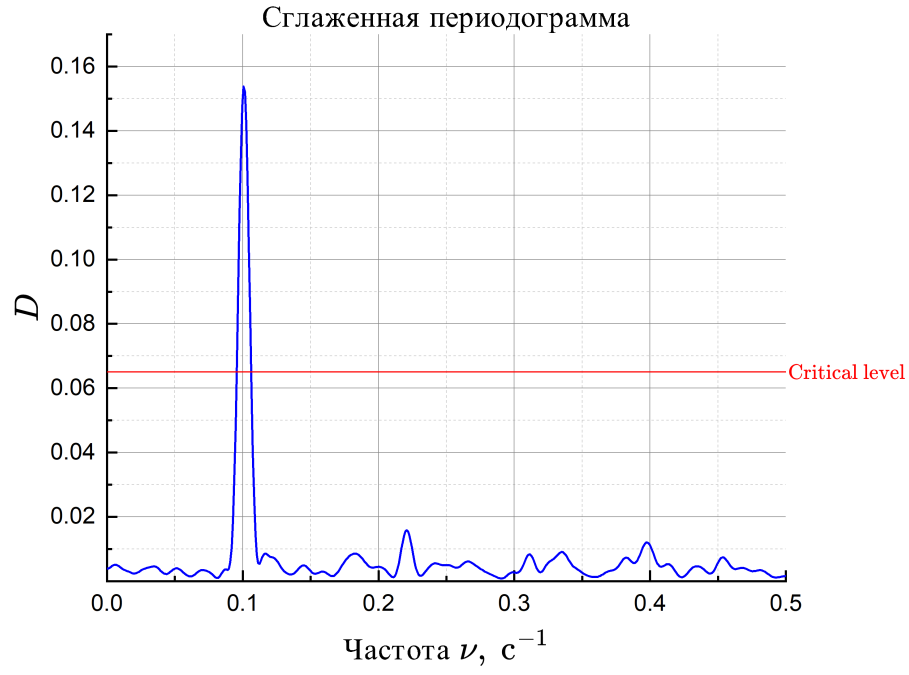


Рис. 5. Синяя кривая — сглаженная периодограмма  $D(\nu)$  при параметре  $N^* = 0.2N$ . Красная кривая — критический уровень детектирования периодического сигнала,  $D_{\text{crit}} \approx 0.065$

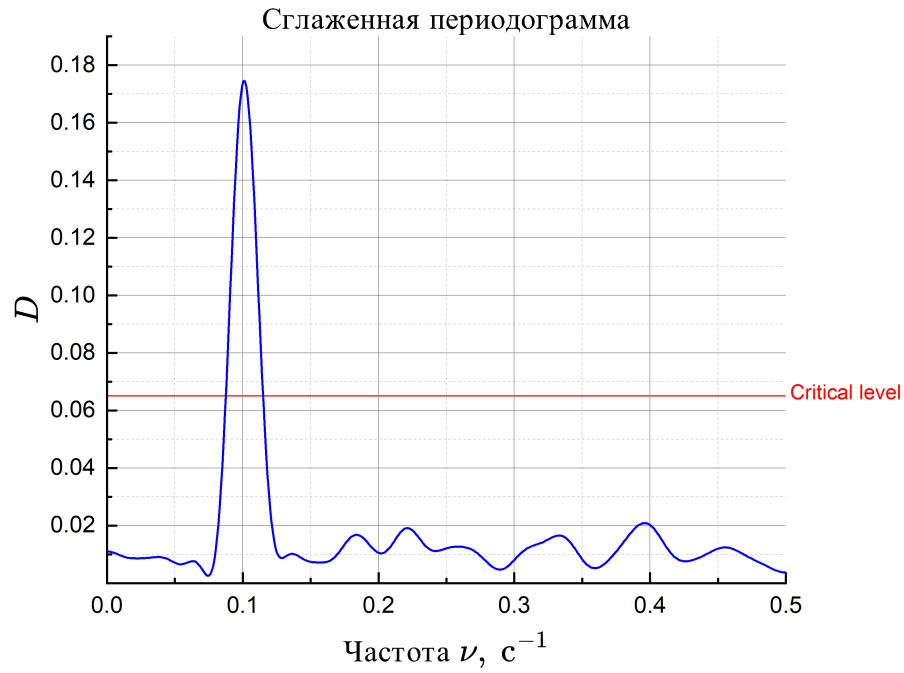


Рис. 6. Синяя кривая — сглаженная периодограмма  $D(\nu)$  при параметре  $N^* = 0.5N$ . Красная кривая — критический уровень детектирования периодического сигнала,  $D_{\text{crit}} \approx 0.065$